

## ເອກສາຣ໌ຂ້າງຂຶ້ນ

1. Tagano, H., and Watanabe, T. Effect of passivation treatment on lacquer adhesion of tinplate, Second international tinplate conference, 422-433. London : ITRI, 1980.
2. Rocquet, P., and Aubrun, P. Sulphide staining inside tinplate can and its prevention. Br. Corros. J. 5(September 1970) : 193-197.
3. Britton, S.C., and Sherlock, J.C. Examination of oxide on tin surface by cathodic reduction. Br. Corros. J. (1974 no2) : 96-102.
4. Azzerri, N., and Cerboncini, U. Asspect of tinplate passivation, Third international tinplate conference, London : ITRI, 1984.
5. Azzerri, N., and Splendorini, L., Passivity met. semicond, proc. int symp. 5th, Amsterdam : Elsevier science publisher B.V., 1983. 707-712.
6. Britton, S.C. Electrochemical assessment of chromium in passivation films on tinplate. Br. J. Corros. (1965) : 92-97.
7. Aubrun, P., and Penera, G.A. Coulometric determination of the metalic chromium content in tinplate passivation film. First international tinplate conference, 295-303. London : ITRI, 1976.
8. Giorgi, L., Ingo, G.M., Zucchetti, N., and Azzerri, N. Electrochemical and XPS investigation of surface treatments on LTS and their effect on lacquer adhesion,

Forth international tinplate conference, 147-161. London : ITRI, 1988.

9. Nogueira, T.M.C., Rosas, W.R., de Souza, M.S., and D'Alkaine, C.V. Development of method for the determination of chromium oxidation state on tinplate passivation film, Forth international tinplate conference, 141-145. London : ITRI, 1988.
10. Warwick, M., Bearfield, D., Clay, K., and Scott, B. A contribution to analytical studys of tinplate passivation films, Third international tinplate conference, 397-409. London : ITRI, 1984.
11. Takesue, Y., Yoshioka, O., Kawamura, H., and Fujimoto, T. Characteristic of electrolytic tinplate treated with chromic acid electrolyte, Transcation ISIJ. 27 (1987), 135 - 136.
12. Frankenthal, R.P., Butler, T.J. and Davis, R.T. Coulometric reduction of oxide on tin plate, Anal. Chem. 30 (March1958) : 441- 443.
13. Willey, A.R., and Kels, D.F. Determination of oxide films on tinplate. Anal. Chem. 30 (November 1958) : 1804-1806.
14. Aubrun, P.J., and Splendorini, L. Coulometric determination of the metallic chromium content in tinplate passivation film, First international tinplate conference, 295-303. London:ITRI,1976.
15. Aubrun, P., and Rocquet, P. The mechanism of metallic chromium electrodeposition in the cathodic dicromate treatment of tinplate. J. Electrochem. Soc. 122 (no7), (July 1975) : 861-865.

16. Azzerri, N., and Splendorini, L. X-ray photoelectron spectroscopy and electrochemical analysis of passivate eleatroytic tinplate surface. Surface Technology. (1982) :255-275.
17. Bassett, J., Denney, R.C., Jeffery, G.H., Mendham, J.M. Vogel's textbook of quantitative inorganic analysis, 4th. ed., Longman group ltd., 1978.
18. Becker, J.J. Surface chromium on chromate treated tin plate. J. Electrochem. Soc. 177 (September 1970) : 1211-1215.
19. Clark, G.L. Encycopedia of chemistry. USA, Reinhold publishing coorporation, 1957.
20. Curran, D.J., and Fletcher, K.S. Instrumental Analysis. USA, Allyn and Bacon Inc., 1986.
21. Furman, N.H., Standard method of chemical analysis, 6th. ed. vol.1, USA, 1962, 357.
22. Glasstone, S. An introduction to electrochemistry. 10th. ed. India,Litton Educational Publishing, 1942.
23. Inui, T., Nemoto, T., Saijo, K., and Kawamura, H. Mechanism of the formation of sulphide stains on tinplate. Tetsu-to-Hagane, 68(1982), 142-149.
24. Kawamura, H. and others. U.S. Patent 4813648, 1989.
25. Leroy, V., and others, Secondary ion mass analysis , auger and photoeleatron spectrometry of passivation layer on tinplate, First international tinplate conference, 399-416. London : ITRI, 1976.
26. Maeda, S., Asai, T., and Sawairi, T. Structure of passivation film on tinplate. Second international tinplate conference, 286-299. London : ITRI, 1980.

27. Nagakoji, H., Mochizuki, K., and Yamamoto, K., and Ichida, T.  
Effect of passivation treatment on the characteristic  
of tinplate, Forth international tinplate conference,  
163-176. London : ITRI, 1988.
28. Shimizu, N., Fugimoto, T., Inui, T., and Ishida,M. U. S. Patent  
468130, 1986.
29. Snell, F.D., and Snell, C.T. Colorimetric method of analysis.  
3rd. ed. USA, D.Van Nostrand company, Inc., 1949.
30. Soopenberg, E.N., Vrijburg, H.G., and Spruyt, A.C. Investigation  
on the kinetics and mechanism of the formmation  
of cathodic dicromate passivation films on electrolytic  
tinplate, First international tinplate conference, 282-294.  
London : ITRI, 1976.

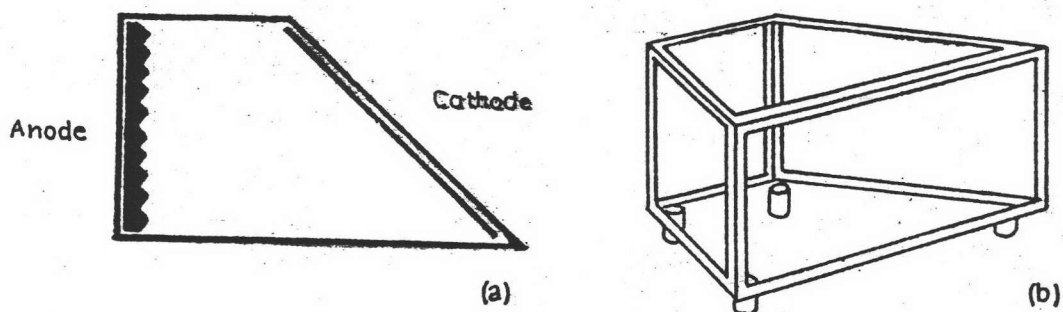
\*\*\*\*\*



ภาควิชานวัตกรรม

ห้องปฏิบัติการ  
ไฮดรอกซิลิกอนิก้า (Hull cell)

ห้องปฏิบัติการไฮดรอกซิลิกอนิก้า (Hull cell) ใช้สำหรับทดสอบอิเลคโทรไลท์ที่ใช้ในการเคลือบโลหะในหลายระบบ  
ลักษณะของห้องปฏิบัติการไฮดรอกซิลิกอนิก้า ออกแบบเพื่อให้สามารถเคลือบโลหะด้วยความหนาแน่นกระแสงในช่วง  
กว้างลงบนแผ่นทดสอบ ห้องปฏิบัติการไฮดรอกซิลิกอนิก้า มีหลายขนาด ซึ่งขนาดที่เหมาะสมที่จะใช้ในห้องปฏิบัติการ  
มีลักษณะดังรูปที่ 11



Hull cell: (a) top view,  
(b) sketch of 267-ml. cell.

รูปที่ 11 ห้องปฏิบัติการ

จากรูปของห้องปฏิบัติการไฮดรอกซิลิกอนิก้า เป็นสี่เหลี่ยมผืนผ้า ความจุ 267 มิลลิลิตร ใช้แผ่นแองడอนที่มี  
พื้นที่หน้าตัด  $6.35 \times 6.35$  ตร.ซม. และแผ่นที่ใช้ทดสอบมีขนาด  $6.35 \times 10.16$  ตร.ซม.  
ลักษณะทางเรขาคณิตระหว่าง แองಡอน-แคโรซิล ทำให้บริเวณปลายแคโรซิลด้านที่ใกล้  
กับแองಡอนมีระยะส่วนตัวที่สูงกว่า แองಡอน ทำให้บริเวณปลายแคโรซิลหันไปทางด้านที่ต้องการทดสอบ  
จะเลือกความหนาแน่นกระแสงจากความคงที่มุม  $15^\circ$  จากระยะทางเลือกผิวเคลือบบริเวณที่  
ต้องการ แล้วคำนวณความหนาแน่นกระแสงจาก

$$CD = I ( 5.1 - 5.24 \log L )$$

โดยที่       $CD$  = ความหนาแน่นกระแสงที่จุดใดๆ บนแผ่นเคลือบ  
                 ( แอม培ร์/ตร.ม. )

$I$  = กระแสไฟฟ้ารวม ( แอม培ร์ )

$L$  = ระยะจากขอบด้านที่อยู่ใกล้แอรอนด้าไปยังจุดที่เลือก ( ม. )

ภาคผนวก ๔.  
เซลล์สำหรับวิเคราะห์ (Analysis cell)

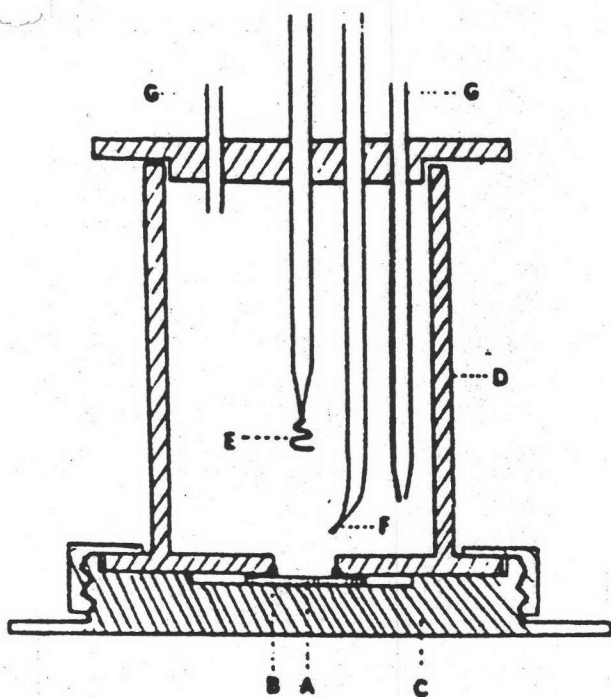
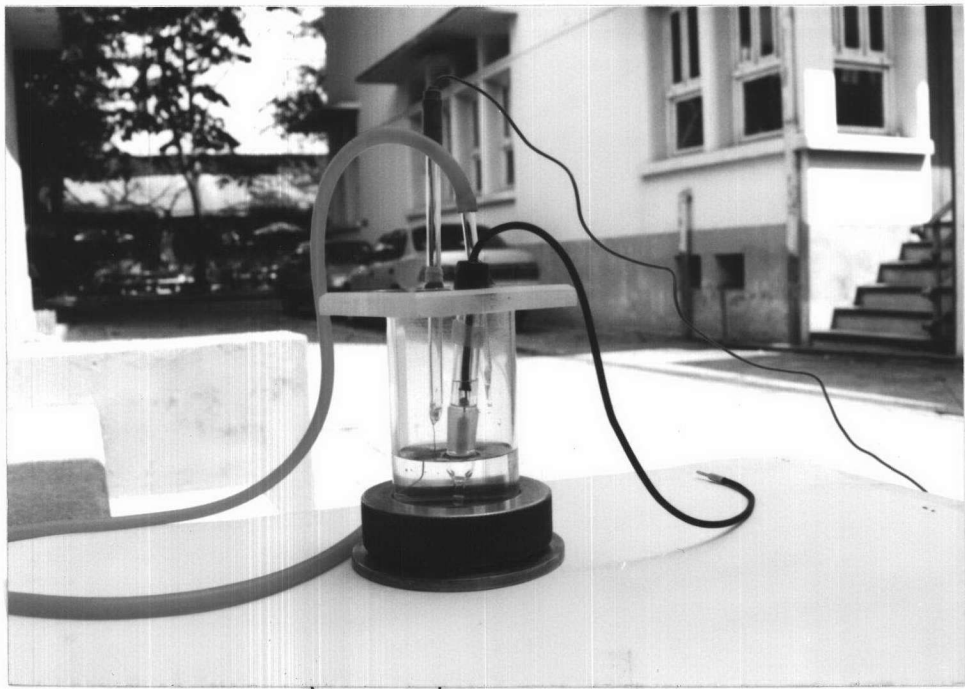


Diagram of general purpose cell for  
coulometric measurements on tinplate.

- A - Sample.
- B - Rubber "O"-ring.
- C - Brass base.
- D - Plastic cell body.
- E - Auxiliary electrode.
- F - Reference electrode.
- G - Inlet/outlet for gases and electrolytes.

รูปที่ 12 ส่วนประกอบของเซลล์สำหรับวิเคราะห์



รูปที่ 13 เซลที่ใช้ในการทดลอง



ภาคผนวก ค.

เครื่องพอทเคนชิโรสแตท/กัลวานอสแตท (Potentiostat/Galvanostat)



รูปที่ 14 เครื่องพอทเ肯ชิโรสแตท/กัลวานอสแตท

ภาคผนวก ง.

การหาประสิทธิภาพของกระasseในการ เคลือบดีบุก

ตัวอย่างการคำนวณ

เมื่อใช้กระasse 1.08 แอมเปอร์ต่อฟันที่ 6.25 ตร.นิว เป็นเวลา 60 วินาที

$$\begin{aligned} \text{คิดเป็นปริมาณกระasse} &= 1.08 \times 60 \\ &= 64.80 \quad \text{คูลอมป์} \end{aligned}$$

ในการเคลือบดีบุก ปริมาณกระasse จะสัมพันธ์กับน้ำหนักดีบุกที่เกิดรีดักชันดังสมการ

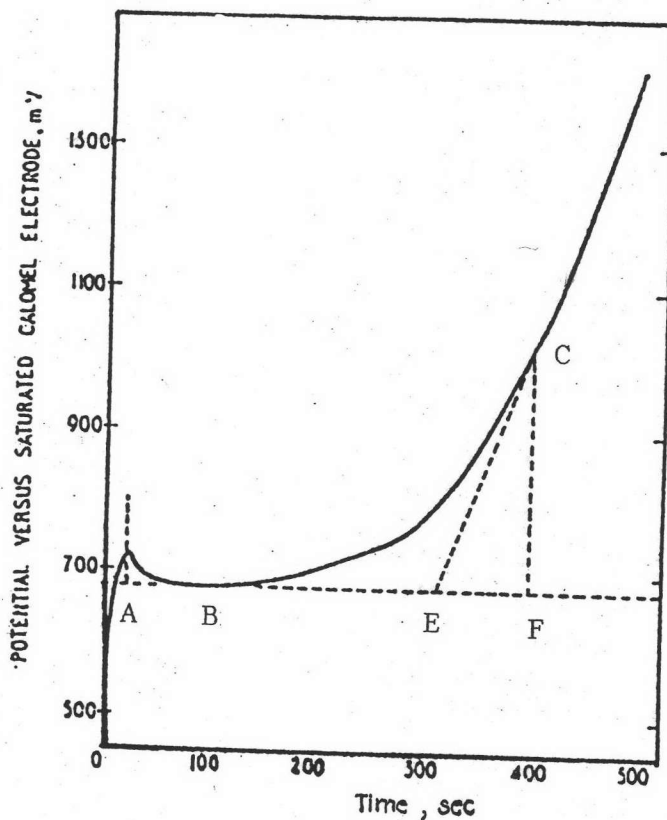
$$Q = \frac{2 \times 96484.56 \times W}{118.69}$$

$$\begin{aligned} \text{ดังนั้นน้ำหนักที่ควรจะได้ตามทฤษฎี} \quad W &= \frac{64.80 \times 118.69}{2 \times 96484.56} \\ W &= 0.0399 \end{aligned}$$

จากการทดลองผิวน้ำเคลือบมีน้ำหนัก 0.03725 กรัม คิดเป็นร้อยละได้ดังนี้

$$\begin{aligned} \text{น้ำหนักดีบุกที่เคลือบติด} \quad 0.0309 \quad \text{กรัม} \quad \text{คิดเป็น} &100 \% \\ " \quad " \quad 0.03725 " \quad " \quad \frac{0.03725 \times 100}{0.0309} \\ &= \underline{93.35 \%} \end{aligned}$$

ภาคผนวก จ.  
การหาปริมาณโรค เมื่อมีการเปลี่ยนเวลา



รูปที่ 15 แสดงตัวอย่างกราฟระหว่างโพเทนเซียลกับเวลาของการหาปริมาณโรค เมื่อมี

จากรูปเส้นตรงจุด A เป็นจุดที่เริ่มเกิดแอนติกอนออกซิเดชันของโรคเมื่อมี ระยะระหว่างจุด A และ C จะมีการเกิดออกซิเดชันของโรคเมื่อมอย่างต่อเนื่อง แต่ที่จุด C เส้นตรง CD มีความชัน อาจเกิดได้จากการเกิดออกซิเดชันของดีบุกในที่ ๆ ไม่มีโรคเมื่อมี ดังนั้นจุด E เป็นจุดที่ CD ทับกับช่วงหยุดพักของกราฟ จึงน่าจะเป็นจุดสั้นสุดของปฏิกิริยาออกซิเดชันของโรคเมื่อมี ดังนั้นระยะ AE เป็นระยะเวลาที่มีการเกิดประสิทธิภาพของกระแส 100 %

ที่ความเร็วของกระดาย = 70 มม./ 60 วินาที

$$\text{ตั้งนั้น } 1 \text{ มม. จะเทียบเท่ากับเวลา} = \frac{60}{70} = 0.857 \text{ วินาที}$$

สมมติให้ AE = X มม.

$$\begin{aligned} Q &= (X \times 0.857) \times 250 \quad \text{ไมโครแอม培ร์} \\ &= 214.25 X \quad \text{ไมโคร库ลอนป์} \\ &= (214.25 \times 10^{-3})X \quad \text{มิลลิคูลอนป์} \end{aligned} \quad (9)$$

$$\text{เนื่องจาก } Q = W \times \frac{6}{52} \times 69484.56 \quad \text{มิลลิคูลอนป์} \quad (2)$$

52

$$Q = 11.1 Cr \quad \text{มิลลิคูลอนป์} \quad (6)$$

แทนค่าสมการที่ 9 ลงในสมการที่ 6 จะได้

$$(214.25 \times 10^{-3})X = 11.1 W$$

$$W = \frac{(214.25 \times 10^{-7})X}{11.1} \quad \text{ไมโครกรัม/ตร.ซม.}$$

11.1

ประวัติผู้เขียน

นางสาว วร阿富汗 ภาราดา มีตร เกิดวันที่ 18 ตุลาคม พ.ศ. 2510 ที่อำเภอ  
บ้านไผ่ จังหวัดขอนแก่น สำเร็จการศึกษาบริษัญาตรีวิทยาศาสตรบัณฑิต สาขาเคมี  
ภาควิชาเคมี คณะวิทยาศาสตร์ มหาวิทยาลัยสงขลานครินทร์ ในปีการศึกษา 2531 และเข้า<sup>ร</sup>  
ศึกษาต่อในหลักสูตร วิทยาศาสตรมหาบัณฑิต ที่จุฬาลงกรณ์มหาวิทยาลัยเมื่อ พ.ศ. 2532

